

Vyučující: Ing. Richard Hrabal, CSc.
Ing. Hana Dvořáková, CSc.
Mgr. Jan Lang, PhD.

(Číslo dveří A 42, telefon 3805, e-mail hrabalr@vscht.cz)



Termín: každé úterý od 7.30 do 9.10
Místo: posluchárna A20
Studijní materiály: <http://staff.vscht.cz/nmr>

Proč se učit NMR spektroskopií?

- Zkoumání chemické struktury
 - Chemie přírodních látek.
 - Syntetická organická chemie, důležitý analytický nástroj pro organickou syntézu.
- Studie dynamických procesů
 - Reakční kinetika.
 - Studium chemických výměn (chemických nebo strukturních).
- Konformační studie
 - Proteiny.
 - DNA. Protein/DNA komplexy.
 - Polysacharidy.
- Návrh nových typů léčiv
 - Zkoumání vztahu struktura -aktivita
Structure Activity Relationships (SAR) by NMR

Úvodní poznámky

- Absorpční (emisní) spektroskopie, podobně jako IČ nebo UV. Detekuje absorpci radiofrekvenčního záření jádry atomů v molekule.
- Bohužel, k pochopení je třeba trochu kvantové mechaniky (hodně k opravdovému porozumění :-)......).
- Aktivní jsou pouze jádra se **spinovým kvantovým číslem** ($I \neq 0$). Tato jádra mohou absorbovat RF záření.
 - Sudé hmotové číslo & sudé atomové číslo $\Rightarrow \Rightarrow I = 0$ (^{12}C , ^{16}O)
 - Sudé hmotové číslo & liché atomové číslo $\Rightarrow \Rightarrow I = \text{celočíslný}$ (^{14}N , ^2H , ^{10}B)
 - Liché hmotové číslo $\Rightarrow I = \text{polovinový}$ (^1H , ^{13}C , ^{15}N , ^{31}P)
- Spinové stavy jádra jsou kvantovány.

$$m = I, (I - 1), (I - 2), \dots, -I$$

- m je magnetické kvantové číslo.

- Pro ^1H , ^{13}C , ^{15}N , ^{19}F , ^{31}P (nejběžnější jádra) platí:

$$I = 1/2 \Rightarrow m = 1/2, -1/2$$

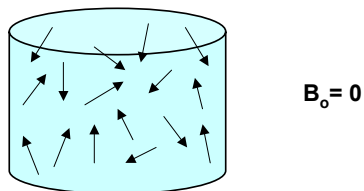
- To znamená, že tato jádra mohou zaujmout pouze dva stavy (energetické hladiny).
- Další důležitou vlastností částic s nábojem je tzv. **magnetický moment** (μ), který může být vyjádřen

$$\vec{\mu} = \gamma \vec{I} \hbar / 2\pi$$

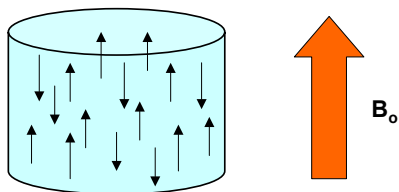
- Je to vektorová veličina, která má velikost a směr (nukleární magnet)
 - \hbar je Planckova konstanta
 - γ je gyromagnetický poměr (konstanta), která je závislá na povaze jádra.
- Různá jádra mají různý magnetický moment.

Vliv magnetického pole ($I = 1/2$)

- V základním stavu nejsou jaderné spiny uspořádány a neexistuje mezi nimi žádný energetický rozdíl. Jsou tzv. degenerované:



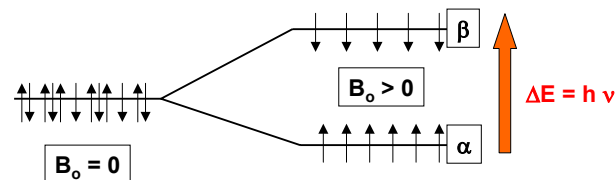
- Vlivem silného externího magnetického pole dojde však k jejich uspořádání buď v souhlasném nebo opačném směru:



- Vždy existuje malý přebytek jader uspořádaných souhlasně se směrem externího magnetického pole než nesouhlasně.

Energie a populace spinových stavů

- Vlivem externího magnetického pole dojde k vytvoření **energetického rozdílu** mezi spinovými stavy souhlasně a nesouhlasně orientovaných jaderných magnetických momentů:



- Rozdíl v populaci jednotlivých stavů je dán rozdílem v jejich energiích a řídí se Boltzmannovým rozdělením:

$$N_{\alpha} / N_{\beta} = e^{\Delta E / kT}$$

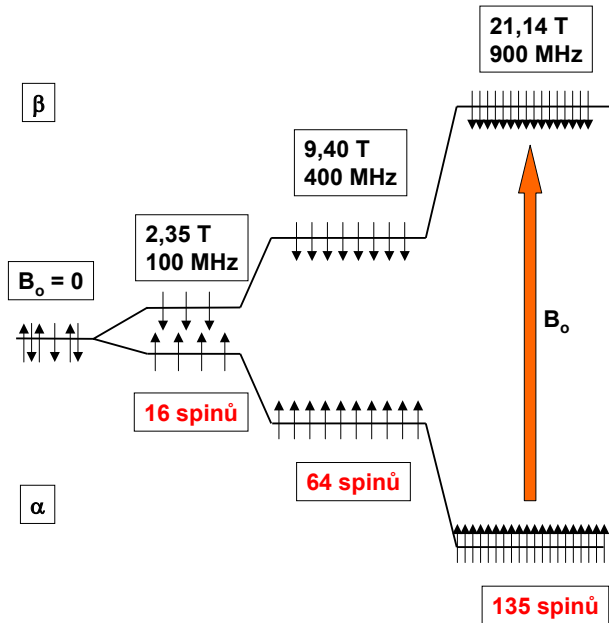
- ΔE pro ^1H při 400 MHz ($B_0 = 9.5 \text{ T}$) je $3.8 \times 10^{-5} \text{ Kcal / mol}$

$$N_{\alpha} / N_{\beta} = 1.000064$$

- Rozdíl v populacích je velmi malý ve srovnání s ostatními spektroskopickými metodami.

Zvyšující se rozdíl v populacích obou spinových stavů α a β pro jádro ^1H vlivem vyššího externího magnetického pole.

Je-li stav β obsazen 10^6 spinů, stav α obsahuje $10^6 + \text{přebytek}$.



Energie a citlivost

- Energie (jednoho spinu) je přímo úměrná magnetickému momentu jádra a velikosti externího magnetického pole:

$$E = -\vec{\mu} \cdot \vec{B}_0 \Rightarrow E_{(\text{up})} = \gamma \hbar |B_0| / 4\pi \text{ --- } E_{(\text{down})} = -\gamma \hbar |B_0| / 4\pi$$

$$\Delta E = \gamma \hbar |B_0| / 2\pi$$

- Toto ovlivňuje velikost energie (intenzitu signálu a citlivost), kterou každé jádro je schopno absorbovat:
- Větší magnety (**vyšší B_0**) způsobují vyšší citlivost NMR přístrojů.
- Jádra s větší gyromagnetickou konstantou γ absorbují více energie a jsou tudíž citlivější. Citlivost je úměrná μ a $N_\alpha - N_\beta$, a magnetickému toku v RF cívce, což opět závisí na γ , konkrétně γ^3 .

$$\gamma^{13\text{C}} = 6,728 \text{ rad / G}$$

$$\gamma^1\text{H} = 26,753 \text{ rad / G}$$

^1H je ~ 64x citlivější než ^{13}C
jen z důvodu konstanty γ

- Přidáme-li k tomu nižší přirozené zastoupení ^{13}C , citlivost tohoto jádra se sníží dokonce o faktor **6400** vzhledem k ^1H .

Energie a frekvence

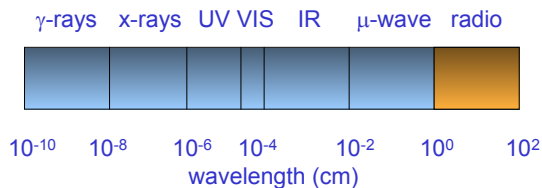
- Energie je též přímo úměrná frekvenci elektromagnetického záření...

$$\Delta E = h \nu$$

$$\Delta E = \gamma \hbar |B_0| / 2\pi$$

$$\nu = \gamma |B_0| / 2\pi$$

- Pro jádro ^1H je tato frekvence při využití komerčně dostupných magnetů (2,35 – 21,14 T) v rozsahu 100-900 MHz.

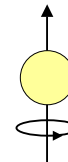


Precesní pohyb

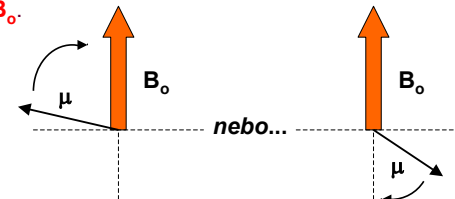
- Z pohledu klasické mechaniky vykonává vektor magnetického momentu precesní pohyb okolo osy z (směru externího magnetického pole). Frekvence tohoto pohybu se nazývá **Larmorova** frekvence a značí se ω :

$$|\omega| = 2\pi\nu \Rightarrow \omega_0 = -\gamma B_0 \text{ (radiany)}$$

- Každé jádro má tzv. **moment hybnosti I**, který je vlastností všech (nejen magneticky aktivních jader). Jádro si lze potom představit rotující kolem vlastní z osy.

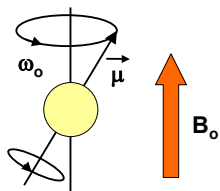


- Má-li jádro nenulový magnetický moment dostaneme rotující atomový magnet. Interakcí s externím polem B_0 vzniká kroučící moment. Bez ohledu na původní orientaci vektoru μ tento má vždy snahu orientovat se podle externího pole B_0 .



Precesní pohyb (pokračování)

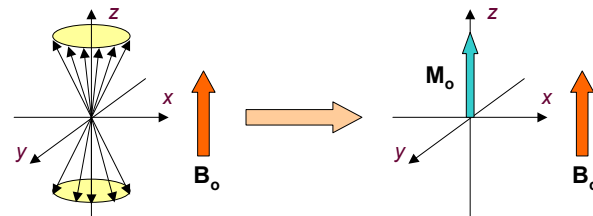
- Precesní pohyb je výslednicí interakce síly, která se snaží přimět vektor μ k souhlasné nebo nesouhlasné orientaci s vektorem B_0 , a síly udržující jej v rotaci:



- Tento jev lze přirovnat k pohybu osy otáčejícího se setrvačníku pod vlivem gravitace.
- Frekvence tohoto precesního pohybu je přímo úměrná rozdílu energií dvou spinových stavů, což lze odvodit na základě kvantové mechaniky.

Makroskopická magnetizace

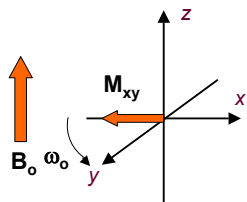
- Nyní je možné zavést pojem makroskopická magnetizace, M_0 , který je přímo úměrný rozdílu populací ($N_\alpha - N_\beta$), kdy byly příspěvky jednotlivých vektorů μ zprůměrovány:



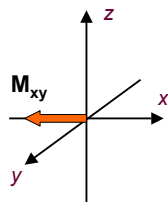
- Každý vektor μ může být rozložen na složku v ose z a v rovině $\langle xy \rangle$. Distribuce komponent v rovině $\langle xy \rangle$ je náhodná, takže se vyprůměrují a navzájem vyruší. Velikost makroskopické magnetizace je potom dána rozdílem populací spinových stavů α a β $N_\alpha - N_\beta$.
- Mezi μ and M_0 je podstatný rozdíl. Zatímco μ je kvantován (může se vyskytovat ve dvou stavech α a β), M_0 odráží stav celé populace spinů a představuje kontinuum.

Laboratorní a rotující soustava souřadnic

- Systém koordinát doposud používaný se nazývá **laboratorní soustava souřadnic**. Jedná se o fixní systém, ve kterém jaderné spiny rotují rychlostí ω_0 , což znesnadňuje jakoukoliv další analýzu.
- Řešením je souřadná soustava, která sama rotuje rychlostí ω_0 , tzv. **rotující soustava souřadnic**. Z fyzikálního pohledu odstraníme takto vliv magnetického pole B_0 .



Laboratorní soustava

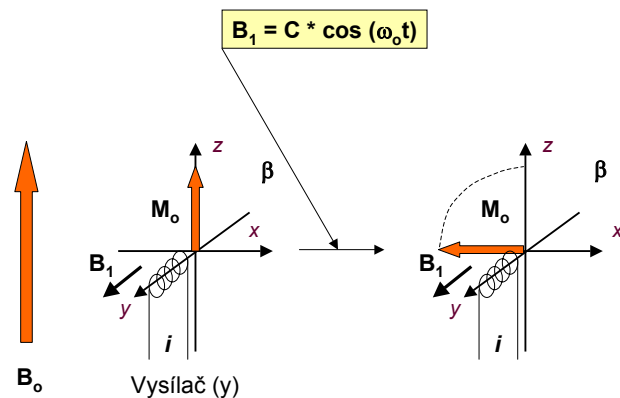


Rotující soustava

- V rotujícím systému souřadnic se vektor M_{xy} nepohybuje za podmínky, že jsme v rezonanci (ω pole B_1 je přesně frekvence jádra ω_0). Jsme-li mimo rezonanci, pohyb vektoru je stále pomalý ve srovnání s rychlostí rotace ω_0 .

NMR excitace

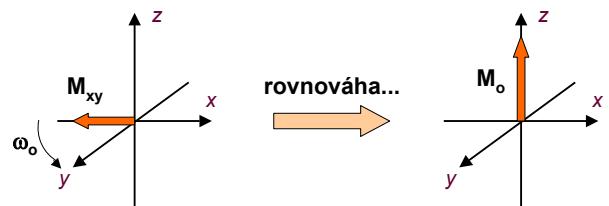
- Nyní potřebujeme, aby systém absorboval energii. Zdrojem je oscilující elektromagnetické záření s frekvencí ω_0 generované střídavým proudem :



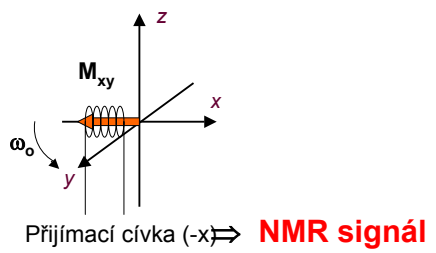
- Je-li frekvence RF pole B_1 a precesního pohybu magnetizace M_0 stejná, je dosaženo tzv. **rezonanční podmínky** a systém absorbuje energii.
- Vzájemnou interakcí RF pole B_1 a magnetizace M_0 dojde k jejímu překlopení kolem tohoto pole B_1 o úhel β , který odpovídá velikosti dodané energie a době jejího působení.

Návrat magnetizace M_0 zpět do rovnováhy (detekce NMR signálu)

- Při absenci externího mag. pole B_1 se M_{xy} bude snažit přejít zpět na M_0 (rovnováha) obnovením původní distribuce populací N_α / N_β . Tento jev se nazývá **relaxace**.

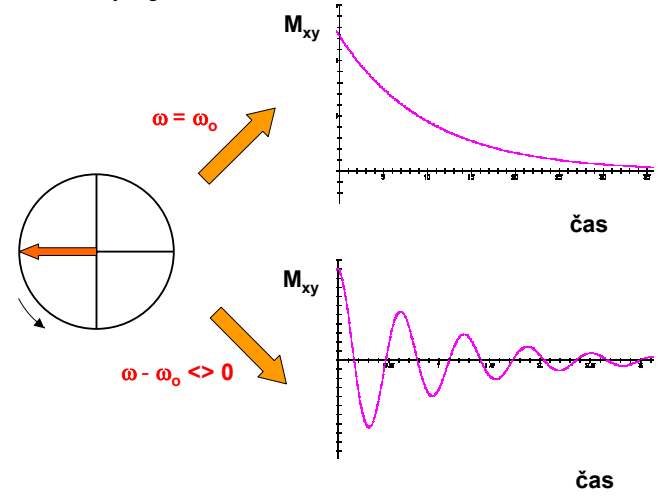


- Oscilace vektoru M_{xy} vytváří fluktuující magnetické pole, které generuje elektrický proud v přijímací cívice:



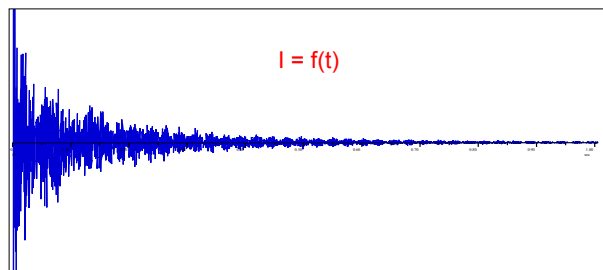
Free Induction Decay (FID)

- Nyní analyzujeme signál, který se objeví v přijímací cívice po sklopení vektoru makroskopické magnetizace do roviny $\langle xy \rangle$ ($\pi / 2$ puls).
- Po aplikaci RF pulsu se vzorek postupně dostane do rovnováhy, t.j. obnoví se původní obsazení energetických hladin a vektor makroskopické magnetizace se dostane zpět do osy z, okolo níž vykonává precesní pohyb. V rotující soustavě souřadnic $\omega - \omega_0$. Relaxace M_0 v rovině $\langle xy \rangle$ je exponenciální. V přijímací cívice detekujeme zanikající kosinový signál :

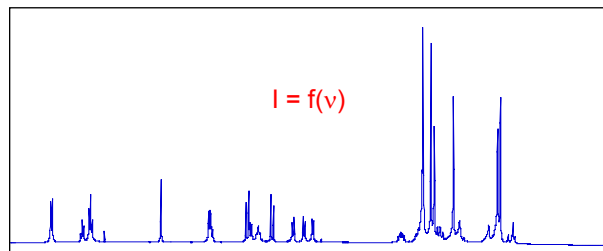


FID (pokračování)

- V reálném vzorku je mnoho spinových systémů, jejichž frekvence jsou odlišné od frekvence B_1 (**carrier frequency**). Protože jsme efektivně excitovali všechny tyto spiny, dostaneme kombinaci signálů a různé frekvenci **Free Induction Decay (FID)**:

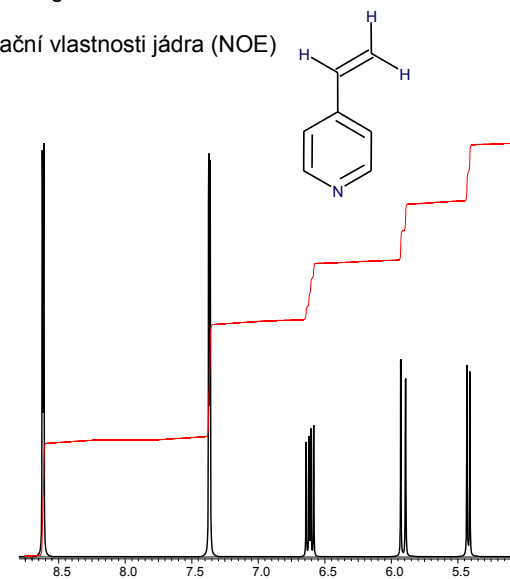


- Po zpracování Fourierovou transformací dostaneme:



Základní NMR parametry

- Chemický posun
- Interakční konstanta
- Počet signálů ve spektru
- Intenzita signálu
- Relaxační vlastnosti jádra (NOE)

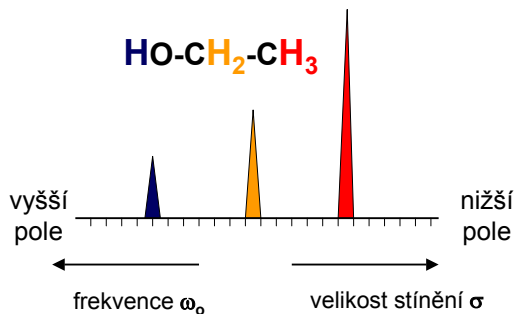


Chemický posun

- Jestliže má každý druh jádra svoji charakteristickou frekvenci, proč je NMR spektroskopie tak užitečná?
- Vlivem tzv. **chemického okolí** dochází ke změnám magnetického pole, které působí na každé jádro stejného typu. Hovoříme o tzv. **efektivním magnetickém poli B_{eff}** , které je tvořeno hlavním magnetickým polem B_0 a lokálním magnetickým polem B_{loc} .

$$B_{eff} = B_0 - B_{loc} \quad \text{---} \quad B_{eff} = B_0(1 - \sigma)$$

σ je tzv. **konstanta magnetického stínění**.



Původ σ (B_{loc})

- Stínění jader závisí na elektronové hustotě v jejich okolí. Celkový efekt lze rozložit na jednotlivé příspěvky:

$$\sigma = \sigma^{dia} + \sigma^{para} + \sigma^I$$

σ^{dia} je diamagnetický příspěvek, který má původ v magnetickém poli vytvářeném elektrony orbitalů **s**. Je opačně orientován než externí magnetické pole B_0 .

- σ^{para} je paramagnetický příspěvek generovaný elektrony orbitalů **p** (rovněž π elektrony vazeb...). Je souhlasný se směrem B_0 .
- Třetí příspěvek, σ^I , odráží vliv sousedních atomů a skupin a může být jak kladný, tak záporný. Toto je příspěvek, který způsobuje, že jádra stejného typu mají v různých molekulách rozdílné chemické posuny.

Původ σ (pokračování)

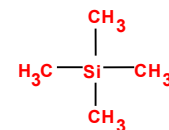
- V případě ^1H dominuje diamagnetický příspěvek σ^{dia} , protože ^1H má pouze **1s** orbital. Naopak ^{13}C obsahuje **p** electrony, kterých je více, proto dominuje paramagnetický příspěvek σ^{para} .
- Výpočet chemického posunu je záležitost kvantové mechaniky.
- Většina efektů může být kvalitativně popsána s využitím σ^{dia} a σ^{I} pro protony a přidáním σ^{para} pro jádra ostatních prvků.
- Hlavními složkami stínící konstanty je **indukční a mezomerní efekt a anizotropie chemického posunu**.

NMR škála (δ , ppm)

- Každý signál ve spektru je charakterizován svou pozicí vyjádřenou ve frekvenčních jednotkách. Problémem je však skutečnost, že B_{loc} je mnohem menší než B_0 (rozsah tisíce Hz oproti milionům Hz) a také závislost na velikosti B_0 .
- Proto používáme relativní stupnici a vztahujeme posun každého signálu k signálu referenčnímu (**standardu**).

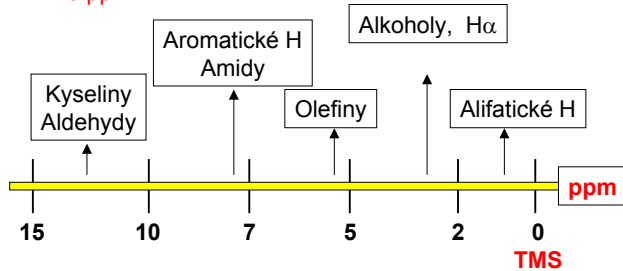
$$\delta = \frac{\omega - \omega_{\text{ref}}}{\omega_{\text{ref}}} \quad \text{ppm (parts per million)}$$

- Potom je pozice signálu stejná pracujeme-li se 100 MHz (2.35 T) nebo 900 MHz (21,14 T) magnetem.
- Příklad **Tetramethylsilan (TMS)** je standardem jak pro ^1H , tak pro ^{13}C spektroskopii. Je dobře rozpustný, inertní a poskytuje vždy jeden signál.

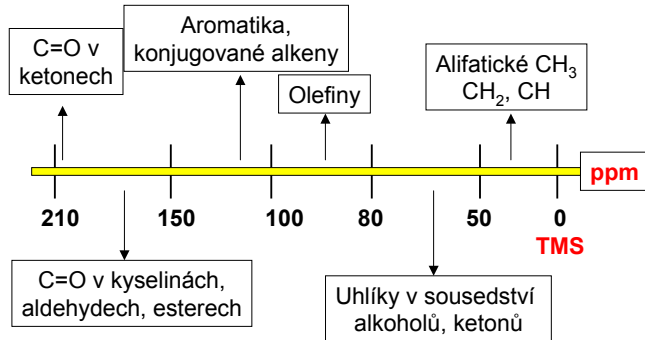


Příklady rozsahů chemických posunů v ppm

$^1\text{H} \sim 15 \text{ ppm}$:

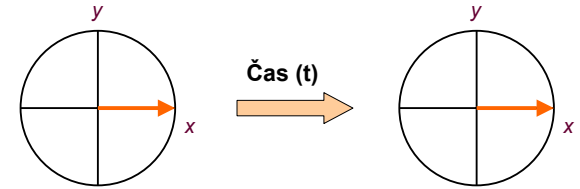


$^{13}\text{C} \sim 220 \text{ ppm}$:

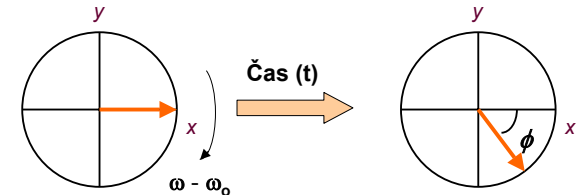


Chemický posun v rotující soustavě souřadnic

- Analyzujeme pouze složku magnetizace v rovině $\langle xy \rangle$. Uvažujme nejprve signál, jehož ω_0 je rovna ω RF pole B_1 (frekvence signálu je stejná jako tzv. nosná frekvence. Vidíme, že nedochází k žádné změně.



- Nyní uvažujme případ, kdy se tyto frekvence liší ($\omega - \omega_0 \neq 0$), vektor M_{xy} se bude vyvíjet (pohybovat) v čase. Úhel, o který se pootočí je úměrný času a rozdílu úhlových rychlostí $\omega - \omega_0$.



$$\phi = (\omega - \omega_0) * t$$

Indukční efekt.

- Izolovaný atom ^1H má symetrický orbital $1s$.

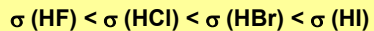
H ($1s$)

- Nyní přidáme $-\text{CH}_3$, čímž získáme methan. Elektronový oblak ^1H (kteréhokoliv ze 4) se deformuje vlivem elektronegativnějšího atomu uhlíku, který bude přitahovat elektrony $1s$.

H ($1s$) C (sp^3)

- Tímto způsobem se sníží elektronová hustota okolo jader ^1H , dojde k jejich **odstínění** a posunu k vyšším hodnotám magnetického pole (ppm). Nahradíme-li jeden z vodíků halogenem, pozorujeme, že čím je příslušný halogen elektronegativnější, tím dochází k většímu odstínění ostatních jader ^1H .

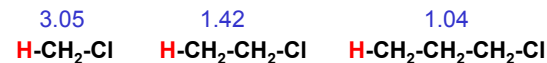
Jinými slovy, s rostoucí elektronegativitou připojeného atomu (skupiny atomů), klesá stínící konstanta σ .



Indukční efekt (pokračování)

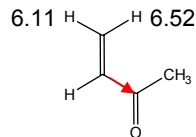
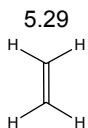
	H-CH ₃	H-CH ₂ I	H-CH ₂ Br	H-CH ₂ Cl	H-CH ₂ F
E	2.1	2.5	2.8	3.0	4.0
δ	0.23	1.98	2.45	2.84	4.13

- Skupiny vykazující výrazný indukční efekt jsou např. **$-\text{NO}_2$, $-\text{OH}$, $-\text{SH}$, $-\text{NH}_2$**
- Snížení stínění lze též dosáhnout např. prodloužením uhlíkového řetězce:

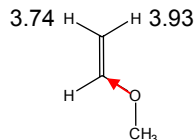
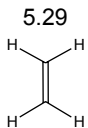


Mezomerní efekt

- Nyní se podíváme na ethylen různě substituovaný skupinami, které mají kladný a záporný **mezomerní efekt**.
- Porovnáme-li posun olefinických vodíků ethylenu a methylvinylketonu, vidíme, že je karbonylová skupina svým záporným mezomerním efektem **-M** odstíní. Dojde k jejich posunu k vyšším hodnotám ppm.

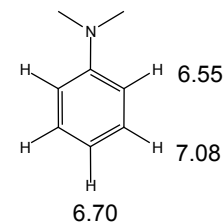


- Naproti tomu methoxy skupina s kladným mezomerním efektem (dodává elektrony do systému) zvyšuje elektronovou hustotu na sledovaných atomech vodíku **+M**, čímž dojde k jejich posunu k nižším hodnotám ppm (zvýší se jejich stínění):

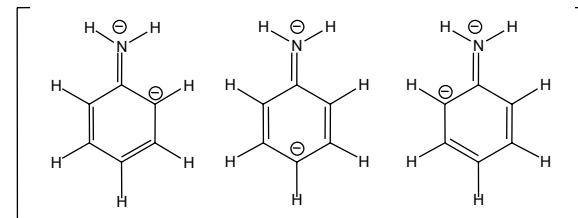


Mezomerní efekt (pokračování)

- Stejná pravidla platí i pro aromatický systém. Máme-li anilin (NH_2 vykazuje **+M** efekt), dojde k většímu stínění protonů, než v případě benzenu (7.24 ppm). Aromatický systém obsahuje více elektronů.

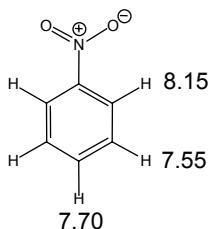


- Z rezonančních struktur je vidět větší elektronová hustota v polohách **ortho a para**. Protony v těchto polohách jsou tedy více stíněny a tedy posunuty k nižším hodnotám ppm.

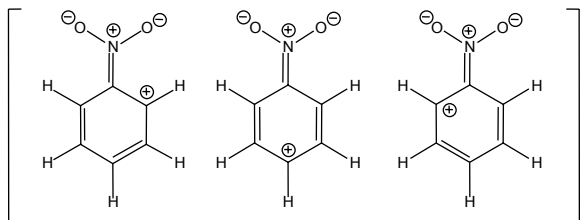


Mezomerní efekt (...)

- Na druhé straně, nitrobenzen vykazuje výrazný **-M** efekt. Všechny protony jsou více odstíněny a tím pádem posunuty k vyšším hodnotám ppm než benzen.

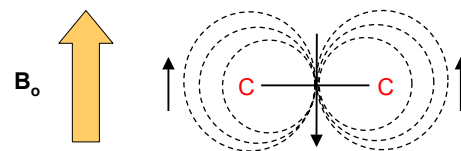


- Opět polohy **ortho** a **para** mají tento efekt výraznější.



Anizotropní efekt

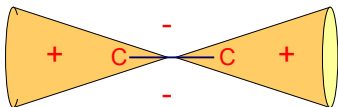
- Jakákoliv chemická vazba je **anizotropní**, protože je orientována v prostoru.
- Jestliže takovouto vazbu (vazebné elektrony) vložíme do externího magnetického pole, bude indukovat magnetický moment, který bude také anizotropní.
- Magnetické okolí protonů v okolí takovéto vazby bude též anizotropní. Lokální magnetické pole bude buď zvyšovat nebo naopak snižovat efektivní magnetické pole. Bude-li tento efekt kladný nebo záporný záleží na poloze příslušného atomu vodíku.
- Máme-li jednoduchou C-C vazbu, která má válcovou symetrii, indukovaný dipól bude mít střed uprostřed vazby, situace bude vypadat následovně:



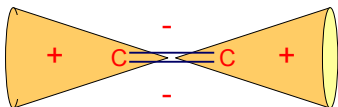
- Atomy vodíku, které se nacházejí na krajích této vazby budou odstíněny více, než atomy nacházející se nad nebo pod touto vazbou.

Anizotropní efekt (...)

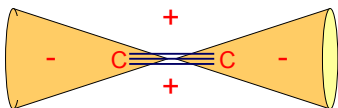
- Výpočtem lze získat přesně oblasti stínění a odstínění.



- Pro dvojnou vazbu (C=O, C=C) je tvar podobný, efekt je však díky π elektronům daleko výraznější:

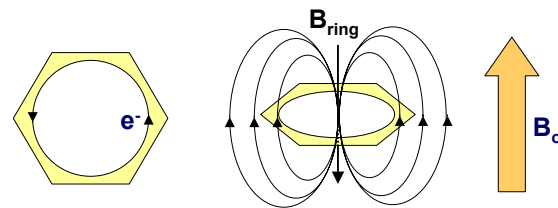


- Pro trojnásobnou vazbu je situace obrácená:

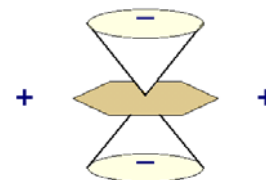


„Ring current“ efekt

- **Anizotropní efekt** aromatického jádra je zesilován systémem konjugovaných dvojných vazeb.
- Siločáry indukovaného magnetického pole jsou kolmé k rovině aromatického kruhu.

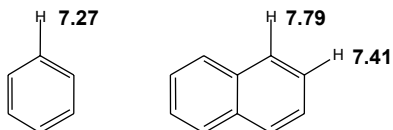


- Vodíky v rovině kruhu jsou odstíněny (posun k vyšším hodnotám ppm), zatímco vodíky nad nebo pod rovinou kruhu jsou stíněny (nižší hodnoty ppm).
- Výpočtem dostaneme podobné oblasti jako v případě jedno-, dvoj- nebo trojných vazeb.

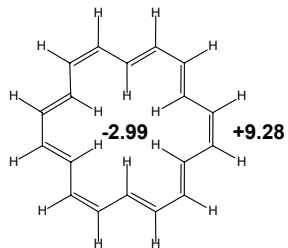


„Ring current“ efekt (...)

- Toto je důvod, proč je chemický posun aromatických protonů v rozmezí 6 to 9 ppm:

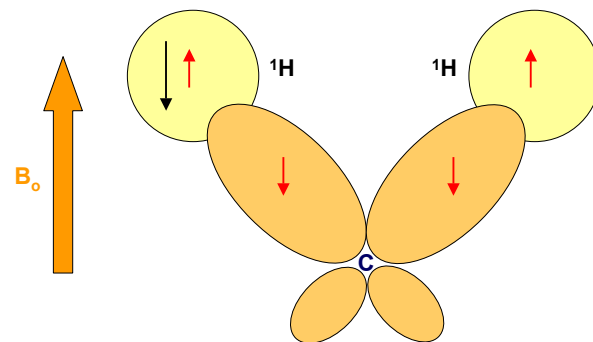


- Dalším příkladem tohoto efektu je [18]anulen:



Interakční konstanta

- Energetické hladiny jednotlivých jader jsou ovlivňovány spinovými stavy jader v okolí. Toto je nazýváno **nepřímou spin-spinou interakcí**. Nepřímá interakce je to proto, že je zprostředkována vazebnými elektrony (na rozdíl od přímé dipól-dipólové interakce jaderných spinů):

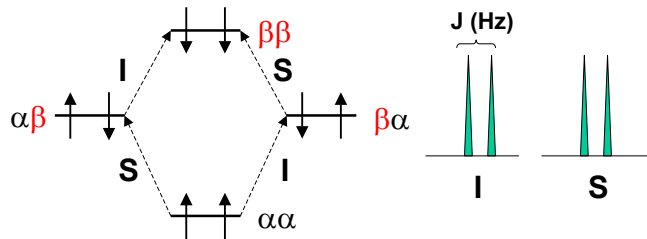


- Magnetický moment jádra polarizuje vazebné elektrony, resp. jejich magnetické momenty a tato polarizace je přenášena na další jádra.

$$E = J_{AB} * I_A * I_B$$

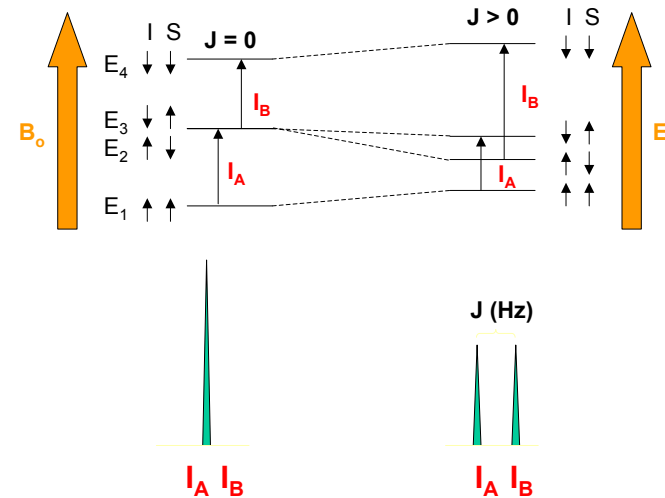
Interakční konstanta (pokračování)

- Předpokládejme nyní systém dvou spinů IS, které jsou v interakci. Pokud je jejich spinové kvantové číslo $\frac{1}{2}$, bude mít každý spin možnost přechodu mezi dvěma dvojicemi energetických hladin.



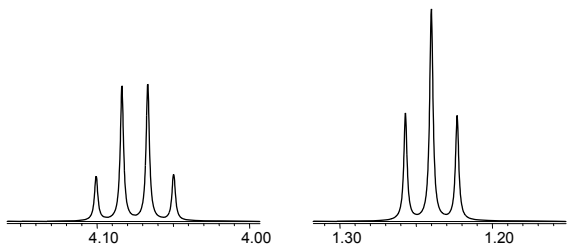
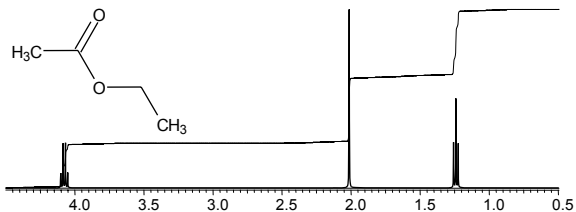
- Analyzujeme nyní stav spinu **I**. Z předchozího schématu je zřejmé, že signál tohoto jádra je tvořen dvěma přechody I_A ($\alpha\alpha \Rightarrow \beta\alpha$) a I_B ($\alpha\beta \Rightarrow \beta\beta$).
- To samé platí o spinu **S**.

Interakční konstanta (...)



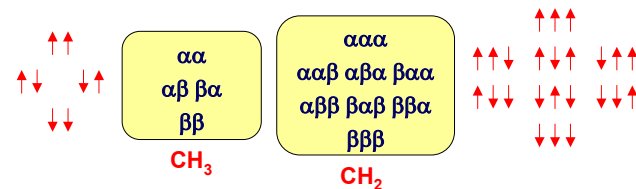
- Pokud je ($J = 0$), jejich energetický rozdíl je stejný, čemuž odpovídá stejná frekvence obou signálů (jsou degenerované). Ve spektru pozorujeme pouze jeden signál. V případě $J>0$ ($J<0$), jsou energetické rozdíly různé a dojde k rozštěpení signálu. Pozorujeme dva signály s poloviční intenzitou. Jejich vzdálenost se nazývá skalární (nepřímá) spin-spinová interakční konstanta.
- **Důležitým rysem tohoto parametru je, že nezávisí na velikosti externího magnetického pole!!!**

Interakční konstanta (intenzita a počet čar)



- Každý atom ^1H ve skupině CH_2 „vidí“ **4 možné stavy** atomů ^1H v sousední skupině CH_3 .
- Naproti tomu každý atom ^1H skupiny CH_3 „vidí“ **3 možné stavy** protonů CH_2 skupiny.
- 2 protony skupiny CH_2 a 3 protony skupiny CH_3 jsou navzájem ekvivalentní.

Interakční konstanta (pokračování)



- Je-li jádro **A** v interakci s **n jádry (spin $\frac{1}{2}$)**, která jsou identická je počet čar v multipletu A roven **$n + 1$** .
- Signál CH_2 skupiny se objeví jako **kvartet (4 čáry)**, zatímco CH_3 skupina jako **triplet (3 čáry)**.
- Je-li jádro **A** v interakci s **n jádry**, která mají spin I platí pro počet čar multipletu A:

$$m = 2nI + 1$$

- Vzdálenost jednotlivých čar v multipletu je rovna velikosti interakční konstanty v Hz. Je stejná v obou multipletech jak CH_2 , tak CH_3 skupiny (7 Hz).

Interakční konstanta (pokračování)

- Z předchozího diagramu lze též odvodit intenzity jednotlivých čar multipletu. Protože existuje stejná pravděpodobnost, že se systém nalézá v jakémkoliv stavu (stavy v řádcích jsou energeticky degenerované), poměr intenzit je **1:2:1** pro CH_3 a **1:3:3:1** pro CH_2 skupinu.

- Obecně lze intenzitu čar získat z koeficientů binomického rozvoje:

$$1 : n : 1 : n(n-1)/2 : n(n-1)(n-2)/6 : \dots$$

- Pro rychlou orientaci slouží tzv. **Pascalův trojúhelník**.

$$\begin{array}{c}
 1 \\
 1 \ 1 \\
 1 \ 2 \ 1 \\
 1 \ 3 \ 3 \ 1 \\
 1 \ 4 \ 6 \ 4 \ 1
 \end{array}$$

Interakční konstanta v rotující soustavě souřadnic

- Uvažujme soubor spinů **I**, které jsou v interakci s dalším spinem **S** a jejich rezonanční frekvence je rovna rezonanci **RF pole B_1** (ω_{B_1} je ω_0).
- Situace je analogická chemickému posunu. V tomto případě máme dvě energetické hladiny, čemuž odpovídají dva signály znázorněné dvěma vektory, které se otáčejí proti sobě rychlostí, která je úměrná velikosti interakční konstanty **J**.

